

УПРАВЛЕНИЕ ПОВЕДЕНИЕМ КАК ФУНКЦИЯ СОЗНАНИЯ. II. СИНТЕЗ ПЛАНА ПОВЕДЕНИЯ *

© 2015 г. Г. С. Осипов, А. И. Панов, Н. В. Чудова

Москва, Институт системного анализа РАН

Рассматриваются процедуры формирования знака, введённые в первой части работы. Исследуется процесс формирования пары образ — значение знака с учётом современных представлений о строении и функционировании коры головного мозга человека. Строится алгоритм синтеза плана поведения и предлагается новая архитектура интеллектуальных агентов, обладающих, в частности, способностями к распределению ролей в коалициях.

Введение. В первой части настоящей работы [1], рассмотрена модель знака, как основной компоненты картины мира субъекта деятельности. Предложены основные процедуры формирования знака. Исследованы процессы самоорганизации на множестве знаков, благодаря которым оказывается возможным описать различные типы картин мира субъектов деятельности.

В основе рассмотрения лежат идеи культурно-исторического подхода Выготского—Лурии [2, 3], теория деятельности Леонтьева [4] и модель психики Артемьевой [5]. Согласно приведённым теориям высшие когнитивные функции реализуются в рамках мотивированной предметной деятельности, когда объекты и процессы внешней среды опосредованы для

*Результаты по моделям компонент знака и алгоритмам планирования (пп. 1,4) получены при поддержке РФФ (грант №14-11-00692), результаты по связыванию компонент знака типам картин мира (п. 2,3) получены при поддержке РФФИ (грант №15-07-06214).

субъекта специальными образованиями, называемыми знаками. Благодаря наличию четырёх компонент: образа, значения, личностного смысла и имени — знак участвует в реализации тех или иных когнитивных функций.

Такая четырёхкомпонентная структура элемента индивидуального знания подтверждается и рядом работ нейрофизиологов, в которых предпринимается попытка построить общую теорию работы мозга человека. Так, в теории повторного входа Эделмана [6] и гипотезе информационного синтеза Иваницкого [7, 8] утверждается, что возникновение ощущения или осознанная фиксация входного потока информации происходит только в том случае, когда активированное сенсорным входом возбуждение от гиппокампа, а затем от гипоталамуса, накладывается на сенсорный след в проекционной коре. Такой «круг ощущений» (рис. 1), проходящий за характерное время в 150-300 мс, последовательно активирует три компонента индивидуального знания: образную (проекционная и сенсорная зоны коры), компоненту значения (гиппокамп) и личностного смысла (гипоталамус). Регистрация сигнала в лобных долях (после возврата его в зоны первичной проекции), по видимому, связана с именованием всех трёх активированных компонент.

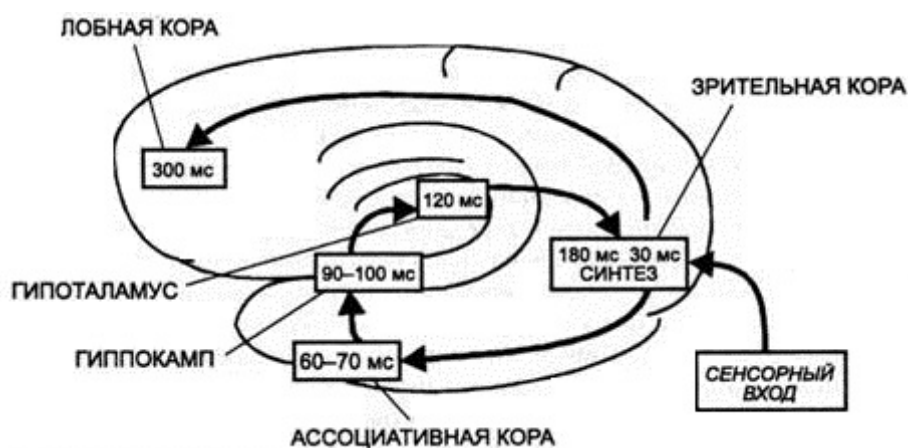


Рис. 1: «Круг ощущений» по Иваницкому [9].

Говоря о современных представлениях о строении коры головного мозга, следует отметить, что оно практически однородно во всём своём объёме, о чём свидетельствует наличие

макро- и миниколонок неокортекса [10, 11]. При этом связи между достаточно малыми зонами коры (так называемый коннектом [12]) указывают на иерархичность её строения и на присутствие как восходящих, так и обратных, нисходящих связей. Отсюда следует, что основные компоненты элемента индивидуального знания должны обладать иерархическим однородным строением с восходящими потоками информации и нисходящей обратной связью. Известно также, что образная компонента должна реализоваться такой функцией распознавания, которая кроме категоризации процессов и статических объектов использует обратную связь для предсказания сигнала в следующий момент времени. Эти соображения будут использоваться для построения алгоритма формирования образной компоненты знака.

1. Модельный (или семантический) уровень. Начнём с построения образа знака. Для этого будем использовать автоматы вида $R = \langle A, Q, B, \varphi, \eta \rangle$, где A — множество входных сигналов, B — множество выходных сигналов, Q — множество состояний, φ — функция переходов, η — функция выходов. Такие автоматы, функционирующие по специальному нейрофизиологически правдоподобному алгоритму, будем называть распознающими или R -автоматами.

Пусть \mathcal{F} — множество признаков. Входные и выходные сигналы будем задавать с помощью векторов действительных чисел. Каждый элемент такого вектора является весом некоторого признака из \mathcal{F} . Для каждого распознающего автомата выделим два подмножества $F \subseteq \mathcal{F}$ и $F^* \subseteq \mathcal{F}$, которые будем называть входными и выходными признаками соответственно. В общем виде работа автомата заключается в распознавании выходных признаков из множества F по входному сигналу с помощью функций распознавания. Каждый из признаков $f_k \in F^*$ распознаётся своей функцией распознавания $\hat{f}_k : X \rightarrow \mathbb{R}$.

Работа функции распознавания \hat{f}_k заключается в сопоставлении каждому признаку f_k из множества F^* действительного числа x_k^* , вычисляемого по вектору \bar{x} входного сигнала. Значение x_k^* определяет оценку успешности построения признака f_k из составляющих его входных признаков, оценки которых во входном сигнале заданы вектором \bar{x} . В этом случае

будем говорить, что распознающий автомат R распознает признак $f_k: f_k \dashv R$.

В соответствии с результатами нейрофизиологических исследований, приведёнными выше, будем считать, что множество \mathcal{R} распознающих автоматов образует иерархию — связный ориентированный ярусный граф. Некоторые части взвешенных векторов оценок выходных признаков распознающих автоматов $R_{i_1}^j, R_{i_2}^j, \dots, R_{i_q}^j$ путём конкатенации составляют вектор входных признаков для автомата R_k^{j+1} следующего уровня иерархии. Такой R -автомат R_k^{j+1} будем называть родительским по отношению к автоматам $R_{i_1}^j, R_{i_2}^j, \dots, R_{i_q}^j$. Нижний индекс распознающего автомата нумерует автоматы из \mathcal{R} , а верхний обозначает номер яруса, которому принадлежит автомат.

Рассмотрим более детально множества входных сигналов A , выходных сигналов B и множества состояний Q .

Входом R -автомата R_i^j является множество пар векторов (\bar{x}, \hat{x}^{j+1}) , где первый вектор пары является вектором размерности q весов входных признаков, а второй — управляющим вектором размерности l со следующего уровня иерархии, который принимает ненулевое значение только в фиксированные для данного автомата R_i^j моменты времени $0, h, 2h, \dots$. Таким образом, множество входных сигналов A является декартовым произведением множеств векторов входных признаков X и управляющих векторов со следующего уровня иерархии \hat{X}^{j+1} : $A = X \times \hat{X}^{j+1}$.

Выходом R -автомата также является множество пар (\bar{x}^*, \hat{x}^j) , где \bar{x}^* — это вектор весов выходных признаков размерности l , а \hat{x}^j — управляющий вектор размерности q для предшествующего уровня иерархии, который наряду с выходами других автоматов уровня j является входным управляющим вектором для некоторых автоматов уровня $j - 1$. Таким образом, выходное множество B также является декартовым произведением множеств взвешенных векторов выходных признаков X^* и управляющих векторов для предшествующего уровня иерархии \hat{X}^j : $B = X^* \times \hat{X}^j$.

Будем считать множество состояний конечным, в связи с чем каждой функции распознавания \hat{f}_k из множества \hat{F} поставим в соответствие набор матриц предсказания $Z_k = \{Z_1^k, \dots, Z_m^k\}$ размерности $q \times h$, где h — глубина памяти распознающего автомата, играющая также роль характерного времени. Столбец $\bar{z}_u^r = (z_{u1}^k, \dots, z_{uq}^k)$ матрицы Z_r^k есть вектор предсказания присутствия во входном векторе признаков из множества F в моменты времени $\tau + u$, где $\tau = 0, h, 2h, \dots$. При этом $z_{uv}^k \in \{0, 1\}$, т. е. вектор \bar{z}_u^r является булевым вектором. Сама матрица Z_r^k задаёт, таким образом, последовательность событий, наличие которых свидетельствует о присутствии распознаваемого функцией \hat{f}_k признака. Иными словами, множество всех матриц предсказания \mathcal{Z} распознающего автомата хранит в себе информацию о выходных признаках. Множество состояний автомата тогда является булеаном множества матриц предсказания: $Q = 2^{\mathcal{Z}}$.

Алгоритм \mathcal{A}_{th} вычисления функции переходов $\varphi : X \times \hat{X}^{j+1} \rightarrow 2^{\mathcal{Z}}$ и выходной функции $\eta : 2^{\mathcal{Z}} \rightarrow X^* \times \hat{X}$ по начальному моменту времени τ , управляющему воздействию $\hat{x}^{j+1}(\tau)$ и входному воздействию $\omega : T \rightarrow X$ представлен ниже. В алгоритме используется стандартная функция W нормировки значений весов:

$$W(\bar{x}) = \left(\frac{x_1}{\max_i x_i}, \dots, \frac{x_n}{\max_i x_i} \right), \quad (1)$$

где $\bar{x} = (x_1, \dots, x_n)$ — вектор с ненормированными компонентами.

Вследствие особенностей алгоритма \mathcal{A}_{th} и того, что множества входных и выходных сигналов являются векторными пространствами, распознающий автомат R является бесконечным автоматом Мили с переменной структурой и конечной памятью (рис. 2):

$$R_i^j = \langle X \times \hat{X}^{j+1}, 2^{\mathcal{Z}}, X^* \times \hat{X}^j, \varphi_i^j, \eta \rangle. \quad (2)$$

1.1. П р о ц е д у р н ы е и о б ъ е к т н ы е п р и з н а к и. Далее будет дано определение значения знака на семантическом уровне с помощью множества правил, каждое из которых соответствует некоторому действию. Правило будем представлять в виде пары «условие —

1 Алгоритм \mathfrak{A}_{th} вычисления автоматной функции распознающего автомата R_i^j

Вход: $\tau_s, \hat{x}_i^{j+1}(\tau_s), \omega_i^j$;

Выход: $\varphi_{i\Delta t}^j, \bar{\eta}_{i\Delta t}^j$;

- 1: $\hat{F}^* = \emptyset, Z^* = \emptyset, t = 0$; // активные функции распознавания и матрицы предсказания
 - 2: $c_1 \in (0, 1), c_2 \in (0, 1)$; // пороговые константы
 // определение начального состояния
 - 3: **для всех** компонент \hat{x}_{ik}^{j+1} вектора $\hat{x}_i^{j+1}(\tau_s) = (\hat{x}_{i1}^{j+1}, \hat{x}_{i2}^{j+1}, \dots, \hat{x}_{il}^{j+1})$
 - 4: **если** $\hat{x}_{ik}^{j+1} \geq c_1$ **то**
 - 5: $\hat{F}^* := \hat{F}^* \cup \{\hat{f}_k\}$;
 - 6: $\bar{x}_i^j := \omega_i^j(\tau_s)$;
 - 7: **для всех** функций распознавания $\hat{f}_k \in \hat{F}^*$
 - 8: **для всех** $Z_r^k \in Z_k$, соответствующих функции распознавания \hat{f}_k ,
 - 9: **если** $\frac{\|\bar{z}_1^j - \bar{x}_i^j\|}{\|\bar{z}_1^j\| + \|\bar{x}_i^j\|} < c_2$ **то**
 - 10: $Z^* := Z^* \cup \{Z_r^k\}$;
 - 11: $\varphi_i^j(\bar{x}_i^j, \hat{x}_i^{j+1}(\tau_s)) := Z^*$; // значение функции переходов в начальный момент времени
 - 12: $\bar{N} := (|\{Z_r^1 | Z_r^1 \in Z^*\}|, \dots, |\{Z_r^{l_j} | Z_r^{l_j} \in Z^*\}|)$;
 - 13: $\eta(Z^*) = \bar{x}_i^{*j} := W(\bar{N})$; // значение функции выходов в начальный момент времени
 - 14: $\hat{x}_i^j = W(\sum_{\hat{f}_k \in \hat{F}^*} \hat{x}_{ik}^{j+1} \sum_{Z_r^k \in Z^*} \bar{z}_r^k)$;
 // основной цикл
 - 15: $t = 1$;
 - 16: **пока** $t \leq h_i^j - 1$
 - 17: $\bar{x}_i^j := \omega(\tau_s + t)$;
 - 18: **для всех** матриц предсказания Z_r^k из множества Z^*
 - 19: **если** $\frac{\|\bar{z}_{t+1}^r - \bar{x}_i^j\|}{\|\bar{z}_{t+1}^r\| + \|\bar{x}_i^j\|} \geq c_2$ **то**
 - 20: $Z^* := Z^* \setminus \{Z_r^k\}$;
 - 21: $\varphi_i^j(\bar{x}_i^j, \hat{x}_i^{j+1}(\tau_s)) := Z^*$; // значение функции переходов в момент времени t
 - 22: $\bar{N} = (|\{Z_r^1 | Z_r^1 \in Z^*\}|, \dots, |\{Z_r^{l_j} | Z_r^{l_j} \in Z^*\}|)$;
 - 23: $\eta(Z^*) = \bar{x}_i^{*j} := W(\bar{N})$; // значение функции выходов в момент времени t
 - 24: $t = t + 1$;
 - 25: **если** $t \leq h_i^j - 2$ **то**
 - 26: $\hat{x}_i^j := W(\sum_{\hat{f}_k \in \hat{F}^*} \hat{x}_{ik}^{j+1} \sum_{Z_r^k \in Z^*} \bar{z}_r^k)$;
-

эффект действия» так, как это понимается в искусственном интеллекте [13]. Для связи правил и распознающих автоматов необходимо ввести ряд вспомогательных определений.

В начале следует отметить, что каждый элемент векторов—столбцов соотносится с признаком из входного множества признаков распознающего автомата, что означает задание индекса для каждого входного признака. Индекс признака $f_k \in F_i^j$ равен q , если ему соответствует q -ый элемент векторов—столбцов матриц предсказания распознающего автомата R_i^j .

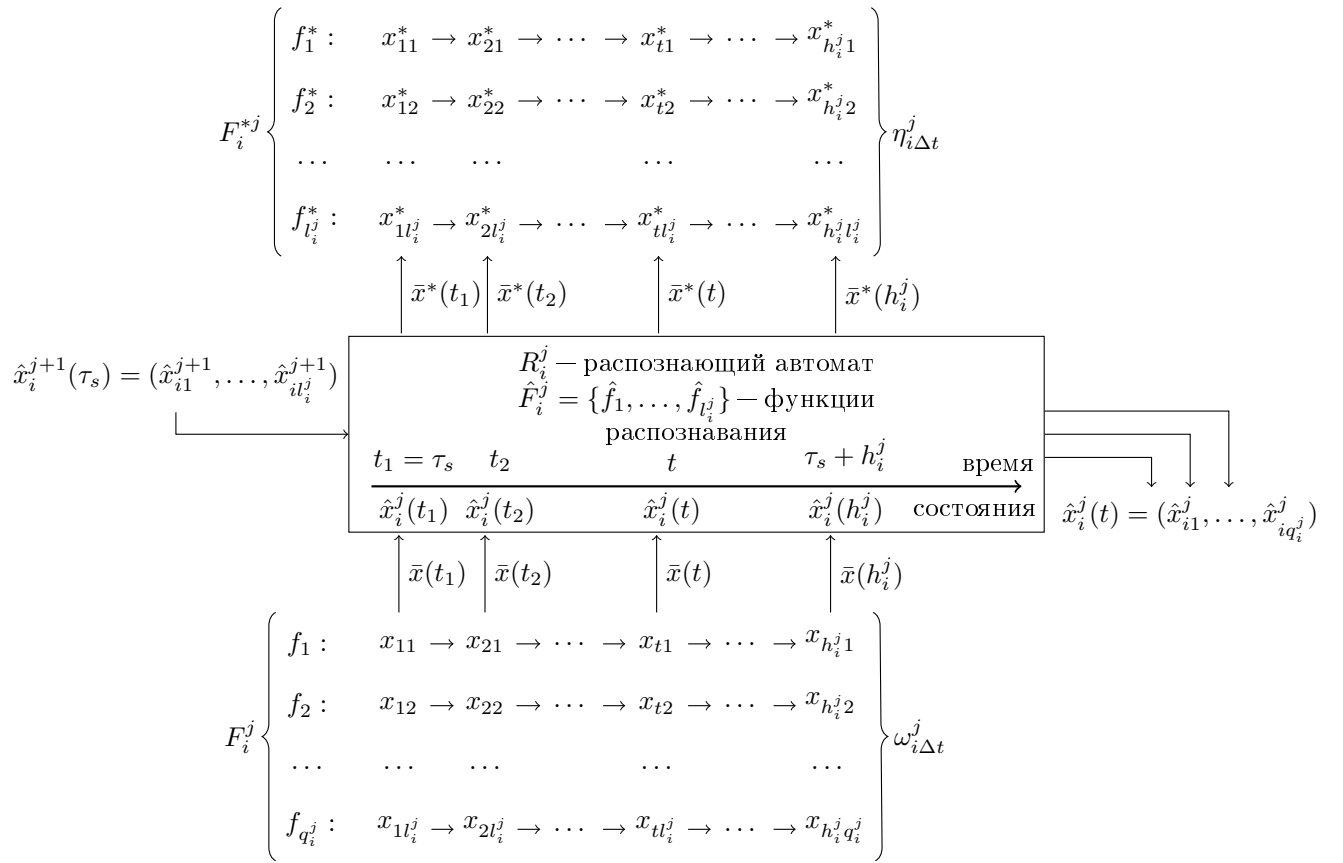


Рис. 2: Вход и выход распознающего автомата R_i^j .

Введём семейство бинарных отношений $\{\sqsubset, \sqsubset^1, \sqsubset^2, \dots\}$, определённых на декартовом произведении $\mathcal{F} \times \mathcal{F}$. Будем считать, что «признак f_1 поглощается признаком f_2 » $f_1 \sqsubset f_2$ в том случае, если $f_1 \dashv R_i^j, f_2 \dashv R_q^{j+1}$, R_q^{j+1} – родительский автомат по отношению к R_i^j и в множестве матриц предсказания \mathcal{Z}_2 признака f_2 существует хотя бы одна матрица Z_r^2 , содержащая некоторый столбец \bar{z}_u^r с элементом $z_{uv}^r = 1$, где $f_q^{j+1}(v) = f_1$ (см. рис. 3).

Пара признаков (f_1, f_2) принадлежат отношению \sqsubset^t , т. е. $f_1 \sqsubset^t f_2$, где $t \in \{1, 2, \dots\}$, в том случае, если $f_1 \dashv R_i^j, f_2 \dashv R_q^{j+1}$, R_q^{j+1} – родительский автомат по отношению к R_i^j и в множестве матриц предсказания \mathcal{Z}_2 признака f_2 существует хотя бы одна матрица Z_r^2 , содержащая t -ый столбец \bar{z}_t^r с элементом $z_{tv}^r = 1$, где $f_q^{j+1}(v) = f_1$.

Введём операцию Λ , которая по множеству матриц распознавания \mathcal{Z}_k признака f_k определяет два набора индексов столбцов матриц из \mathcal{Z}_k . Первый набор $I_c = \{i_1^c, i_2^c, \dots\}$, $\forall k$ $0 \leq$

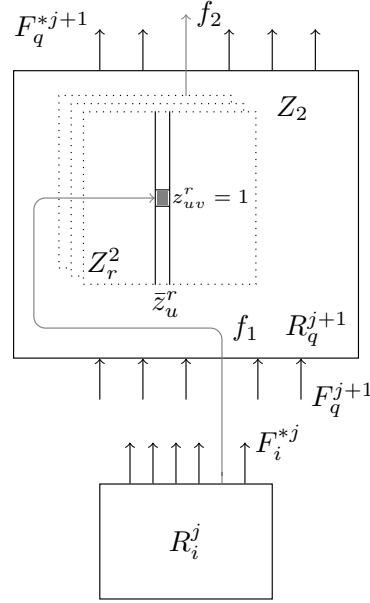


Рис. 3: Схема определения отношения поглощения признаков f_1 и f_2 : $f_1 \sqsubset f_2$.

$i_k^e < h$, составляют индексы *столбцов условий*, в которых ненулевые элементы определяют условия проявления признака f_k . Второй набор $I_e = \{i_1^e, i_2^e, \dots\}$, $\forall k$ $0 \leq i_k^e < h$, состоит из индексов *столбцов эффектов*, в которых ненулевые элементы определяют эффекты проявления признака f_k . Примером реализации процедуры Λ может служить алгоритм Норриса по поиску максимального прямоугольного подмножества в бинарном отношении [14].

Признаки, для матриц предсказания которых процедура Λ выдаёт не пустые множества индексов I_c и I_e , будем называть *процедурными признаками*, остальные — *объектными признаками*. Это означает, что всё множество признаков делится на два подмножества: $\mathcal{F} = \mathcal{F}^{proc} \cup \mathcal{F}^{obj}$ и $\mathcal{F}^{proc} \cap \mathcal{F}^{obj} = \emptyset$.

Для любого процедурного признака выполняются следующие естественные условия:

- условие всегда предшествует эффекту,
- условие всегда влечёт за собой эффект и
- все условия всегда отделены от своих эффектов.

Иными словами, если f_1 — процедурный признак, то если столбец \bar{z}_u^r матрицы предска-

ния Z_r^1 является столбцом условий, т. е. $u \in I_c$, этот столбец не может одновременно являться столбцом эффектов, т. е. $u \notin I_e$, и существует такое $t > 0$, что столбец \bar{z}_{u+t}^r является столбцом эффектов, т. е. $u + t \in I_e$.

Пополним семейство отношений $\{\sqsubset, \sqsubset^1, \sqsubset^2, \dots\}$ двумя отношениями: \sqsubset^c и \sqsubset^e , принадлежность к которым пары признаков (f_1, f_2) свидетельствует о том, что признак f_1 присутствует соответственно в столбце условий и эффектов как минимум в одной матрице предсказания процедурного признака f_2 .

1.2. Определение компонент знака. Пусть S — множество знаков. Будем считать, что будущему знаку $s \in S$ соответствует некоторый признак $f(s) \in \mathcal{F}$, обладающий перцептом \tilde{p} , функциональным значением \tilde{m} и биологическим смыслом \tilde{a} , которые после завершения процесса формирования знака s становятся, соответственно, образом p , значением m и личностным смыслом a .

Определение 1. Если f_1 — признак, соответствующий знаку s_1 , то подмножество $\tilde{p}(f_1) \subseteq \mathcal{F}$ таких признаков, что $\forall f_i \in \tilde{p}(f_1) f_i \sqsubset f_1$, будем называть перцептом признака f_1 .

На множестве всех перцептов \tilde{P} введём метрику $\rho_p(\tilde{p}(f_1), \tilde{p}(f_2))$, вычисляемую по следующему правилу:

- если f_1 и f_2 распознаются разными R -автоматами, т. е. $f_1 \dashv R_i^j, f_2 \dashv R_q^k$, то $\rho_p(\tilde{p}(f_1), \tilde{p}(f_2)) = \infty$,
- если f_1 и f_2 распознаются одним и тем же R -автоматом R_i^j со множеством входных признаков F_i^j мощности q и характерным временем h , то

$$\rho_p(\tilde{p}(f_1), \tilde{p}(f_2)) = \min_{\substack{Z_r^1 \in Z_1 \\ Z_s^2 \in Z_2}} \frac{1}{q \cdot h} \sum_{u=1}^h \|\bar{z}_u^r - \bar{z}_u^s\|. \quad (3)$$

Определение 2. Если f_1 — признак, соответствующий знаку s_1 , f_2 — процедурный признак, $f_1 \sqsubset^c f_2$, то будем называть f_2 элементом функционального значения признака

f_1 . Множество всех элементов функционального значения признака f_1 будем обозначать $\tilde{m}(f_1)$.

На множестве всех функциональных значений \tilde{M} введём метрику $\rho_m(\tilde{m}(f_1), \tilde{m}(f_2))$, вычисляемую по следующему правилу:

$$\rho_m(\tilde{m}_1(f_1), \tilde{m}_2(f_2)) = \min_{\substack{f_i \in \tilde{m}(f_1) \\ f_j \in \tilde{m}(f_2)}} \rho_p(\tilde{p}(f_i), \tilde{p}(f_j)). \quad (4)$$

Самосознание субъекта деятельности включает в себя выделенный знак s_I , являющийся представлением субъекта о самом себе. То множество признаков которое составляет образ знака s_I будем называть личностными признаками и выделять в специальное подмножество $F_I \subset \mathcal{F}$.

Определение 3. Если f_1 — признак, соответствующий знаку s_1 , f_2 — процедурный признак, $f_1 \sqsubset^c f_2$, такой, что $F_C(f_1) \cap F_I \neq \emptyset$, то будем называть f_2 элементом биологического смысла признака f_1 . Множество всех элементов биологического смысла признака f_1 будем обозначать $\tilde{a}(f_1)$.

1.3. Семантический уровень обобщения. На основе описанной модели компонент знака становится возможным описать процедуры обобщения (см. первую часть работы) на модельном, семантическом уровне. Для этого будем считать, что матрицы предсказания распознающих автоматов были сформированы в процессе обучения (например, с использованием алгоритма НТМ [15] или THSOM [16]). При рассмотрении множества матриц предсказания \mathcal{Z} некоторого распознающего автомата возникают следующие три основных случая:

- *Внутреннее обобщение.* Будем называть схожими, такие матрицы из подмножества

$Z'_k = \{Z_1^k, Z_2^k, \dots, Z_m^k\}$ множества матриц предсказания Z_k некоторого признака f_k , для которых при $\forall i, j, l$ таких, что $Z_i, Z_j \in Z'_k, l \in \{0, \dots, h\}$ выполняется $\text{card}(z_l^i \wedge z_l^j) < c_3$,

где c_3 — некоторая константа. Обобщение в этом случае заключается в замене подмножества схожих матриц Z'_k одной обобщённой $Z^* = (\bigwedge_{Z_q \in Z'_k} \bar{z}_1^q, \bigwedge_{Z_q \in Z'_k} \bar{z}_2^q, \dots, \bigwedge_{Z_q \in Z'_k} \bar{z}_h^q)$. Таким

образом, осуществляется кластеризация множества матриц предсказания признака f_k , контролируемая одним параметром близости c_3 .

- *Конкретизация.* В тех случаях, когда получаемые с использованием описанной выше меры близости кластеры матриц предсказания признака f_k расходятся достаточно сильно, образуются новые конкретизированные признаки для каждого кластера и соответственно расширяется множество выходных признаков F^* распознающего автомата.
- *Внешнее обобщение.* В том случае когда во всех матрицах предсказания R -автоматов, являющихся родительскими по отношению к распознающему автомату R , i -ые и j -ые компоненты всех столбцов матриц принимают одинаковые значения, выходные признаки $f_i, f_j \in F^*$, соответствующие этим компонентам, обобщаются в один признак с объединённым множеством матриц предсказания. При этом возможно и дальнейшее внутреннее обобщение.

Отдельно необходимо рассмотреть случай *абстрагирования*, когда несколько выходных признаков одного или нескольких распознающих автоматов в результате работы процедуры обобщения на синтаксическом уровне (см. первую часть работы) формируют новый признак f^* в некотором R -автомате R^* , лежащем на следующем уровне иерархии. В этом случае матрица предсказания будет состоять из единственного столбца с ненулевыми элементами, которые соответствуют признакам, составляющим данную категорию.

И, наконец, ещё один случай обобщения на семантическом уровне заключается в образовании ролевой структуры процедурных признаков. Рассмотрим случай, когда столбцы условий или эффектов некоторых матриц предсказания процедурного признака f_p различаются только в двух компонентах, т. е. i -ая компонента в некоторых столбцах равна 1, а в других — 0, а j -ая компонента наоборот — в первых равна 0, а во вторых — 1. Если соответствующие этим компонентам признаки в результате абстрагирования попали в некоторую общую категорию f_{cat} , то к множеству матриц предсказания признака f_p добавляется матри-

ца с новой компонентой, соответствующей признаку f_{cat} и обнулёнными компонентами i и j .
Данная процедура легко распространяется на случай, когда количество элементов категории f_{cat} в матрицах предсказания признака f_p больше двух. Таким образом, для процедурного признака f_p появляется обобщённая, ролевая матрица предсказания.

2. Формирование значения знака. В начале подробнее рассмотрим строение матрицы предсказания Z_r^p некоторого процедурного признака. Легко показать, что эту матрицу можно представить в следующем виде:

$$Z_r^p = (\bar{z}_1^{r,c}, \dots, \bar{z}_{j_1}^{r,c}, \bar{z}_{j_1+1}^{r,e}, \dots, \bar{z}_{i_1}^{r,e}, \dots, \bar{z}_{i_{k-1}+1}^{r,c}, \dots, \bar{z}_{j_k}^{r,c}, \bar{z}_{j_k+1}^{r,e}, \dots, \bar{z}_{i_k}^{r,e}), \quad (5)$$

где $\bar{z}_j^{r,c}$ — столбцы причин, $\bar{z}_i^{r,e}$ — столбцы следствий.

Величину k будем называть *сложностью* процедурного признака. В дальнейшем будем рассматривать простые матрицы предсказаний k -сложного процедурного признака:

$$Z_r^p = (\bar{z}_1^{r,c}, \bar{z}_2^{r,e}, \dots, \bar{z}_{2 \cdot k-1}^{r,c}, \bar{z}_{2 \cdot k}^{r,e}). \quad (6)$$

Краткая форма k -сложного процедурного признака f_p имеет матрицу предсказания, в которой оставлены только первый столбец условий и последний столбец эффектов.

Любой процедурный признак f_p со сложностью $k = 1$ (элементарный), распознаваемый автоматом R_i^j , можно представить в виде правила $r_p = (F_C(f_p), F_A(f_p), F_D(f_p))$, в котором:

- $F_C(f_p) \subseteq F_i^j$ — множество признаков — условий правила: $\forall f \in F_C(f_p) \ f \sqsubset^c f_p$;
- $F_A(f_p) \subseteq F_i^j$ — множество добавляемых правилом признаков: $\forall f \in F_A(f_p) \ f \sqsubset^e f_p, f \not\sqsubset^c f_p$;
- $F_D(f_p) \subseteq F_i^j$ — множество удаляемых правилом признаков: $\forall f \in F_D(f_p) \ f \not\sqsubset^e f_p, f \sqsubset^c f_p$.

Очевидно, выполняются следующие соотношения: $F_A(f_p) \cap F_D(f_p) = \emptyset, F_A(f_p) \cap F_C(f_p) = \emptyset, F_D(f_p) \subseteq F_C(f_p)$.

Определение 4. *Процедурный признак $f_p^1 \dashv R_i^j$ с матрицей предсказания $Z = (\bar{z}_1^c, \bar{z}_2^e)$ выполняется на векторе \bar{z} длины q , где q — длина входного вектора R -автомата R_i^j , если $\bar{z} \cdot \bar{z}_1^c = \bar{z}_1^c$.*

Здесь под операцией « \cdot » подразумевается покомпонентное умножение битовых векторов. Если в качестве вектора \bar{z} в определении (4) взять столбец условий некоторого признака f_p^2 , то будем говорить, что процедурный признак f_p^1 выполним в условиях процедурного признака f_p^2 , если

- оба признака распознаются одним и тем же распознающим автоматом R_i^j и признак f_p^1 выполняется на столбце условий матрицы предсказания признака f_p^2 ,
- $f_p^1 \dashv R_i^{j_1}, f_p^2 \dashv R_k^{j_2}, i \neq k, F_C(f_p^1) \subseteq F_C(f_p^2)$ и признак f_p^1 выполняется на столбце условий матрицы предсказания признака f_p^2 .

Определение 5. *Будем говорить, что два процедурных признака f_p^1 и f_p^2 конфликтуют, если выполнено как минимум одно из следующих условий:*

- $F_D(f_p^1) \cap F_A(f_p^2) \neq \emptyset$,
- $F_D(f_p^2) \cap F_A(f_p^1) \neq \emptyset$,
- $F_D(f_p^1) \cap F_C(f_p^2) \neq \emptyset$,
- $F_D(f_p^2) \cap F_C(f_p^1) \neq \emptyset$.

Определение 6. *Результатом операции приведения вектор—столбца \bar{z} матрицы распознавания R -автомата $R_{i_1}^{j_1}$ к R -автомату $R_{i_2}^{j_2}$ будем называть такой вектор \bar{z}' длины $q_{i_2}^{j_2}$, k -ый элемент которого $z'_k = 1$, если признак $f \in F_{i_1}^{j_1}$ с индексом k равен признаку $f' \in F_{i_2}^{j_2}$ с тем же индексом и $z_k = 1$, иначе $z'_k = 0$, и обозначать его $(\bar{z} \rightarrow R_{i_2}^{j_2}) = \bar{z}'$.*

Определение 7. *Результатом операции приведения вектор—столбца \bar{z} матрицы распознавания R -автомата $R_{i_1}^{j_1}$ к R -автомату $R_{i_2}^{j_2}$ по столбцу \bar{z}' матрицы распознавания из*

множества $Z_{i_2}^{j_2}$ будем называть такой вектор \bar{z}'' длины $q_{i_2}^{j_2}$, элемент которого $z_k'' = 1$, если признак $f \in F_{i_1}^{j_1}$ с индексом k равен признаку $f' \in F_{i_2}^{j_2}$ с тем же индексом, $z_k' = 1$ и $z_k = 1$, иначе $z_k'' = 0$, и обозначать $(\bar{z} \xrightarrow{\bar{z}'} R_{i_2}^{j_2}) = \bar{z}''$.

2.1. Алгоритм связывания образа и значения знака. Будем считать, что у субъекта имеется опыт наблюдения, который выражается в виде функции Ψ_p^m . $\Psi_p^m(\tilde{p}) = \tilde{m}$, в том случае, если $\tilde{p} \in \tilde{P}$ является перцептом некоторого признака f , а $\tilde{m} \in \tilde{M}$ — функциональным значением того же признака f .

Ниже представлен алгоритм доопределения функции Ψ_p^m , который и отражает собой суть процесса во время образования знака согласно алгоритму из первой части работы. Доопределение проводится на новую пару (\tilde{p}, \tilde{m}) , где функциональное значение \tilde{m} строится в сравнении с эталоном \tilde{m}^0 , а перцепт \tilde{p} формируется на основе области определения \hat{F} функции Ψ_p^m . Доопределение функции Ψ_p^m означает формирование нового признака f^* , т. е. его первой матрицы предсказания Z^* в рамках распознающего автомата R^* .

2 Алгоритм \mathfrak{A}_{pm} (часть I)

Вход: $\tilde{m}^0 = \{f_p^0\}$, Ψ_p^m , $\hat{F} = \text{dom } \Psi_p^m \subseteq \mathcal{F}$;

- 1: $Z_p^0 := \{\bar{z}_1^0, \bar{z}_2^0\}$ — матрица предсказания признака f_p^0 ;
 - 2: $\tilde{p}^{(0)} := \emptyset$, $\tilde{m}^{(0)} := \emptyset$;
 - 3: $R_0 \notin \mathcal{R}$ — фиктивный распознающий блок, для которого $F_0^* = \{f_p^0\}$;
 - 4: $Z^{(0)} := \emptyset$, $Z_p^{(0)} := \{\bar{0}, \bar{0}\}$;
 - 5: $q^{(0)} := 0$, $t := 0$;
 - 6: **пока** $Z_p^{(t)} \neq Z_p$ или $t < |\hat{F}|$
 - 7: $f \in \hat{F}$ — первый не рассмотренный ранее признак;
 - 8: $Z = \{\bar{z}_1, \bar{z}_2, \dots, \bar{z}_q\}$ — его матрица предсказания;
 - 9: **если** $\exists \tilde{m} = \{f_p\} \in \tilde{M}$ такое, что $(\tilde{p}(f), \tilde{m}) \in \Psi_p^m$, f_p выполним в условиях признака f_p^0 и $\nexists f'$ такого, что $f' \in \tilde{p}^{(t)}$, $\tilde{m}' = \{f_p'\} \in \tilde{M}$, $(\tilde{p}(f'), \tilde{m}') \in \Psi_p^m$, f_p' конфликтует с f_p **то**
 - 10: $\tilde{p}^{(t+1)} = \tilde{p}^{(t)} \cup \{f\}$;
 - 11: $Z_p = \{\bar{z}_1^c, \bar{z}_2^e\}$ — матрица предсказания признака f_p ;
 - 12: **если** $\exists R_i^j$ такой, что $\tilde{p}^{(t+1)} \subseteq F_i^j$ **то**
 - 13: $R_i^{j(t+1)} := R_i^j$;
 - 14: **иначе**
 - 15: $R_i^{j(t+1)} := \arg \max_{\mathcal{R}} (F_i^j \cap \tilde{p}^{(t+1)})$;
 - 16: $F_i^{j(t+1)} := F_i^{j(t)} \cup \tilde{p}^{(t+1)}$;
-

3 Алгоритм \mathfrak{A}_{pm} (часть II)

- 17: $q^{(t+1)} = \max\{q^{(t)}, q\};$
18: $Z^{(t+1)} := \{\bar{z}_1^{(t+1)}, \bar{z}_2^{(t+1)}, \dots, \bar{z}_{q^{(t+1)}}^{(t+1)}\}$, где $\bar{z}_i^{(t+1)} = \bar{z}_i^{(t)} \vee \bar{z}_i$, если $i \leq q$ и $i \leq q^{(t)}$, $\bar{z}_i^{(t+1)} = \bar{z}_i^{(t)}$, если $i > q$ и $\bar{z}_i^{(t+1)} = \bar{z}_i$, если $i > q^{(t)}$;
19: $Z_p^{(t+1)} := \{\bar{z}_1^{c(t+1)}, \bar{z}_2^{e(t+1)}\}$, где $\bar{z}_1^{c(t+1)} = \bar{z}_1^{c(t)} \vee (\bar{z}_1^c \rightarrow R_0)$, $\bar{z}_2^{e(t+1)} = \bar{z}_2^{e(t)} \vee (\bar{z}_2^e \xrightarrow{\bar{z}_2^{e0}} R_0)$;
20: $f_p^{(t+1)}$ — признак с матрицей предсказания $Z_p^{(t+1)}$;
21: $\tilde{m}^{(t+1)} = \{f_p^{(t+1)}\}$;
22: $t = t + 1$;
23: $R^* = R_i^{j(t)}$;
24: $Z^* = Z^{(t)}$;
25: $\mathcal{Z}^* = \mathcal{Z}_i^{j(t)} \cup \{Z^*\}$;
вернуть Ψ_p^m , доопределённую на паре (\tilde{p}, \tilde{m}) , где $\tilde{p} = \tilde{p}^{(t)}$, $\tilde{m} = \tilde{m}^{(t)}$.
-

Теорема 1 (о корректности алгоритма \mathfrak{A}_{pm}). *Алгоритм \mathfrak{A}_{pm} корректен, т. е. элементы последовательности функциональных значений $\langle \tilde{m}^{(0)}, \tilde{m}^{(1)}, \dots, \tilde{m}^{(t)} \rangle$, которая строится с помощью алгоритма \mathfrak{A}_{pm} для функционального значения \tilde{m}^0 , приближаются к \tilde{m}^0 в смысле метрики (4).*

Доказательство. Рассмотрим два элемента последовательности $\tilde{m}^{(t)} = \{f_p^{(t)}\}$ и $\tilde{m}^{(t+1)} = \{f_p^{(t+1)}\}$. Соответствующие матрицы предсказания будут иметь следующий вид:

$$Z_p^{(t)} = \{\bar{z}_1^{c(t)}, \bar{z}_2^{e(t)}\}, \quad Z_p^{(t+1)} = \{\bar{z}_1^{c(t+1)}, \bar{z}_2^{e(t+1)}\}. \quad (7)$$

Если на шаге 9 алгоритма \mathfrak{A}_{pm} на $(t+1)$ -й итерации не был найден подходящий признак, то матрицы $Z_p^{(t)}$ и $Z_p^{(t+1)}$ равны. Рассмотрим случай, когда был найден подходящий признак f' с функциональным значением $\tilde{m}' = \{f'_p\}$ с соответствующей матрицей предсказания $Z' = (\bar{z}_1^c, \bar{z}_2^e)$.

В том случае, если на шаге 9 был найден признак f'_p то матрицы $Z_p^{(t)}$ и $Z_p^{(t+1)}$ будут отличаться в своих двух столбцах:

$$\bar{z}_1^{c(t+1)} = \bar{z}_1^{c(t)} \vee (\bar{z}_1^c \rightarrow R_0), \quad \bar{z}_2^{e(t+1)} = \bar{z}_2^{e(t)} \vee (\bar{z}_2^e \xrightarrow{\bar{z}_2^{e0}} R_0). \quad (8)$$

По определению расстояние между функциональными значениями $\tilde{m}^{(t)}$ и \tilde{m}^0 примет следу-

ющее значение:

$$\begin{aligned}\rho_m(\tilde{m}^{(t)}, \tilde{m}^0) &= \min_{\substack{f_i \in \tilde{m}^{(t)} \\ f_j \in \tilde{m}^0}} \rho_p(\tilde{p}(f_i), \tilde{p}(f_j)) = \rho_p(\tilde{p}(f'_p), \tilde{p}(f_p)) = \\ &= \frac{1}{q \cdot h} \sum_{\substack{\tilde{z}_u^{1(t)} \in Z_p^{(t)} \\ \tilde{z}_u^2 \in Z_p^0}} \|\tilde{z}_u^{1(t)} - \tilde{z}_u^2\|. \end{aligned} \quad (9)$$

Аналогично для $\tilde{m}^{(t+1)}$:

$$\rho_m(\tilde{m}^{(t+1)}, \tilde{m}^0) = \frac{1}{q \cdot h} \sum_{\substack{\tilde{z}_u^{1(t+1)} \in Z_p^{(t+1)} \\ \tilde{z}_u^2 \in Z_p^0}} \|\tilde{z}_u^{1(t+1)} - \tilde{z}_u^2\|. \quad (10)$$

Рассмотрим разность

$$\begin{aligned}\rho_m(\tilde{m}^{(t)}, \tilde{m}^0) - \rho_m(\tilde{m}^{(t+1)}, \tilde{m}^0) &= \frac{1}{q \cdot h} (\|\tilde{z}_1^{c(t)} - \tilde{z}_1^{c0}\| + \|\tilde{z}_2^{e(t)} - \tilde{z}_2^{e0}\| - \\ &- \|\tilde{z}_1^{c(t+1)} - \tilde{z}_1^{c0}\| - \|\tilde{z}_2^{e(t+1)} - \tilde{z}_2^{e0}\|) = \frac{1}{q \cdot h} (\|\tilde{z}_1^{c(t)} - \tilde{z}_1^{c0}\| + \\ &+ \|\tilde{z}_2^{e(t)} - \tilde{z}_2^{e0}\| - \|\tilde{z}_1^{c(t)} \vee (\tilde{z}_1^{c'} \rightarrow R_0) - \tilde{z}_1^{c0}\| - \\ &- \|\tilde{z}_2^{e(t)} \vee (\tilde{z}_2^{e'} \xrightarrow{\tilde{z}_2^{e0}} R_0) - \tilde{z}_2^{e0}\|), \end{aligned} \quad (11)$$

где $\tilde{z}_1^{c0}, \tilde{z}_2^{e0}$ — столбцы матрицы предсказания процедурного признака f_p^0 , соответствующего функциональному значению \tilde{m}^0 .

Так как f'_p выполним на первом столбце матрицы предсказания признака f_p^0 , то после применении операции приведения $\tilde{z}_1^{c'} \rightarrow R_0$ в результирующем векторе единицы появляются только на тех же местах что и в векторе \tilde{z}_1^{c0} . Это означает, что в векторе $\tilde{z}_1^{c(t)} \vee (\tilde{z}_1^{c'} \rightarrow R_0) - \tilde{z}_1^{c0}$ по сравнению с вектором $\tilde{z}_1^{c(t)}$ единицы находятся только в тех же местах, что и в векторе \tilde{z}_1^{c0} , а новых нулей не появляется. В следствие чего разность $\|\tilde{z}_1^{c(t)} - \tilde{z}_1^{c0}\| - \|\tilde{z}_1^{c(t)} \vee (\tilde{z}_1^{c'} \rightarrow R_0) - \tilde{z}_1^{c0}\|$ всегда больше либо равна нулю.

Так как для столбцов эфффектов применяется операция приведения по столбцу, то единицы в результирующем векторе остаются только на тех местах, на которых одновременно находятся единицы в приводимом векторе и векторе, по которому осуществляется приведение. В связи с этим разность $\|\tilde{z}_2^{e(t)} - \tilde{z}_2^{e0}\| - \|\tilde{z}_2^{e(t)} \vee (\tilde{z}_2^{e'} \xrightarrow{\tilde{z}_2^{e0}} R_0) - \tilde{z}_2^{e0}\|$ также больше либо равна нулю.

Так как обе разности в скобках выражения для $\rho_m(\tilde{m}^{(t)}, \tilde{m}^0) - \rho_m(\tilde{m}^{(t+1)}, \tilde{m}^0)$ больше либо равны нулю, то отсюда следует, что функциональное значение $\tilde{m}^{(t+1)}$ ближе или по крайней мере находится на том расстоянии от \tilde{m}^0 , чем к \tilde{m}^t . В виду произвольности выбора итерации t , это приводит к тому, что элементы всей последовательности $\langle \tilde{m}^{(0)}, \tilde{m}^{(1)}, \dots \rangle$ приближаются к \tilde{m}^0 в смысле использованной метрики (4).

■

3. Планирование и типы картин мира. Рассмотрим механизм планирования, реализуемый в рамках трёх описанных в [17] картин мира, возникающих благодаря существованию у знака той структуры, которая была описана в [1].

Начнём с житейской картины мира (КМ). Представление о желаемом связано здесь с некоторой социальной ситуацией взаимодействия, задающейся существующими в данном социуме объективными обстоятельствами (собеседование при принятии на работу может быть по-разному устроено в разных сферах деятельности, а сама ситуация возникла в относительно недавнем прошлом; свадьба существует во всех обществах, но её организация имела большое число вариаций в истории человечества). Поэтому планирование начинается с поиска на сети значений и выбора конкретного значения, за которым стоит определённый сценарий развёртывание ситуации. Сценарий же, который некто собирается разыграть, требует уточнения персонажей, объектов и их свойств, что инициирует поиск уже на сети образов. Возможные параметры объектов и исполнителей ролей должны быть рассмотрены с точки зрения их приемлемости и удобства для самого субъекта — ведь в каком костюме идти на собеседование или кого позвать в свидетели на свою свадьбу каждому приходится решать в соответствии со своей уникальной жизненной ситуацией. Это означает, что обнаруженные в ходе исследования параметры объектов должны быть оценены на сети смыслов — в данном случае это будут так называемые операциональные смыслы [18], выявляющие способность тех или иных предметов и людей играть нужные субъекту роли. После этого планирование

продолжается на сети значений, где люди и вещи уже рассматриваются под определённым углом зрения — а именно как способные играть определённую роль и как удовлетворяющие запросы субъекта планирования.

В рациональной КМ планирование осуществляется в отношении возможностей изучения заинтересовавшего объекта. Значение выбранного на сети образов объекта уточняется в ходе рассмотрения тех ситуаций, в которых он мог бы встречается. Так, археолог планирует поездку в тот регион, в котором происходили интересующие его как историка события, а психолог определяет те ситуации жизнедеятельности испытуемого, в которых действие интересующего его психологического механизма проявляется. Далее, на сети смыслов оцениваются и отбираются с точки зрения полезности для изучения объекта те конкретные ситуации, где он в принципе мог бы проявить себя. Например, психолог отбирает все методики, в которых интересующее его качество, например, агрессивность, могло бы проявиться — не только те методики, описание которых содержит указание «направлена на изучение агрессивности», но и все методики, в которых это качество могло бы проявиться как сопутствующее или выступающее под другим именем — например, как категоричность суждений или отсутствие эмпатии. Значение различных действий с объектами наполняется, таким образом, предметным смыслом. Уточнённое, операционализированное, представление об объекте превращает его в предмет исследования и, далее, на сети образов могут быть исследованы уже конкретные эмпирические процедуры, реализация которых позволит провести изучение предмета.

Третий тип планирования — планирование, порождённое поиском смысла. Оно начинается со встречи с аффектогенным событием, смысл которого, тем не менее, человеку не удаётся сразу определить. На сети имён возникает имя с реализованными в образе значением (ситуация с конкретными действующими лицами и объектами), но ни операциональные смыслы отдельных объектов и персонажей, ни предметные смыслы совершаемых субъектом в связи с этой ситуацией действий, не оказываются достаточными, чтобы исчерпать, снять возник-

шее у человека эмоциональное напряжение. Тогда на сети образов ищутся такие объекты, которые вместе с образом данного события могли бы быть проявлениями некой обобщённой ситуации. Обобщение осуществляется именно на образах, поэтому значение, к которому они восходят, не совпадает с исходным, предложенным извне, значением события. Переобозначение исходного события таким образом, чтобы оно приобрело смысл, т. е. интерпретация события, осуществляется в три шага. Вначале на сети образов запускается исследование связей образов, входящих в событие, с другими образами, т. е. ищутся ассоциации с образами, построенные на общем эмоциональном отклике на них. Далее, на сети значений осуществляется рассмотрение тех ситуаций человеческой жизни, в которых данные объекты (образы) встречаются. Ситуации здесь оказываются максимально обобщёнными, охватывающими всю жизнь человека, т. е. архетипическими, выраженными в мифах и прецедентных текстах культуры субъекта планирования. Наконец, на сети смыслов осуществляется оценивание и отбор полученных новых ролей для исходных объектов и персонажей путём создания нарратива, повествования о событии, в котором его личностный смысл для субъекта как целое определял бы круг задействованных объектов, последовательность действий персонажей и подводил бы к завершающей сцене как итогу, содержащему мораль всей истории.

4. Синтез плана поведения. Построим алгоритм планирования в житейской картине мира, используя изложенные выше соображения. Аналогично задачам планирования в искусственном интеллекте [19] будем рассматривать фиксированный домен планирования $D = \langle S_{st}, S_{goal} \rangle$, где S_{st} — начальная ситуация, S_{goal} — целевая ситуация, представляющая из себя целевой знак, который был определён с помощью процедуры целеполагания [1].

С формальной точки зрения планом $Plan$ при фиксированном домене планирования D будем называть такую последовательность личностных смыслов, в которой процедурный признак, которому соответствует очередной личностный смысл, не конфликтует с процедурным признаком, которому соответствует предыдущий личностный смысл.

Определение 8. Последовательность личностных смыслов $\{\alpha_1, \alpha_2, \dots, \alpha_n\}$ будем называть планом $Plan$ в домене $D = \langle S_{st}, S_{goal} \rangle$, если $\alpha_1, \dots, \alpha_n$ последовательно применимы и $\forall 1 < k \leq n \alpha_k$ не конфликтует с α_{k-1} .

На странице 20 представлен алгоритм планирования поведения. В нём используется функция интериоризации $Interior$, которая с помощью одного из отображения связывания Ψ_m^a [1] определяет личностный смысл α по элементу значения μ .

4 Алгоритм \mathcal{A}_{bp} синтеза плана поведения

Вход: начальная ситуация S_{st} , знак мотива s_{goal} и связанный с ним личностный смысл a_{goal} , функция оценки Φ_a ;

Выход: план $Plan$;

```

1:  $F_{st} = \bigcup_{s \in S_{st}} \{f(s)\};$  // множество признаков начальной ситуации
2:  $Plan = \text{PLANNING}(\emptyset, \{f(s_{goal})\}, \{a_{goal}\});$ 
3: процедура  $\text{PLANNING}(Plan, F_{cur}, A_{forw})$ 
4:    $\tilde{A}_{forw} = \Phi_a(A_{forw}, s_{goal});$  // выбор предпочитаемых действий
5:    $F_{cond} = \bigcup_{a \in \tilde{A}_{forw}} F_C(a);$ 
6:    $F_{next} = F_{cur} \cup F_{cond} \setminus \bigcup_{a \in \tilde{A}_{forw}} F_A(a);$  // следующая ситуация планирования
7:   если  $F_{next} \subseteq F_{st}$  то
8:     вернуть  $Plan \cup \tilde{A}_{forw};$  // возвращаем обновленный план
9:   иначе
10:    если  $F_{next} = F_{cur}$  то
11:      вернуть невозможно построить план;
12:    иначе
13:       $\Delta = F_{next} \setminus F_{st};$  // текущая невязка состояний
14:       $M_{next} = \{\mu_i | \mu_i \in m(f), f \in F_{next}, F_D(\mu) \cap \Delta = \emptyset\};$ 
15:       $M_{forw} \subseteq M_{next}$  такое, что 
$$\begin{cases} \left| \bigcup_{\mu \in M_{forw}} (F_A(\mu) \setminus \Delta) \right| \rightarrow \max, \\ \left| \bigcap_{\mu \in M_{forw}} (F_A(\mu) \setminus \Delta) \right| \rightarrow \min; \end{cases} // \text{ решение}$$

16:       $A_{next} = \bigcup_{\mu \in M_{forw}} \{\text{INTERIOR}(\mu)\};$  // текущее множество личностных смыслов
17:      для всех  $\alpha_j \in A_{next}$ 
18:        если  $\exists \alpha_k \in A_{next}$  такой, что  $\alpha_k \neq \alpha_i$  и  $\alpha_k$  конфликтует с  $\alpha_j$  то
19:           $\alpha_{del} = \arg \min_{\alpha \in \{\alpha_k, \alpha_j\}} |F_A(\alpha) \setminus \Delta|;$ 
20:           $A_{next} = A_{next} \setminus \{\alpha_{del}\};$  // удаляем конфликтующие признаки
21:      вернуть  $\text{PLANNING}(Plan, F_{next}, A_{next});$ 

```

В случае рассмотрения деятельности субъекта в коллективе при составлении плана мо-

гут быть использованы наряду с личностными смыслами, в которые входят признаки образа «Я» (см. определение 3), смыслы, относящиеся к знаку, опосредующему другого участника коллектива. Иными словами, пусть у субъекта, составляющего общий план действий, имеются наборы признаков F_1, F_2, \dots, F_N , относящиеся к каждому члену коллектива, т. е. имеются образы других участников деятельности. Если процедура *Interior* будет наряду с поиском на множестве личностных смыслами осуществлять поиск и на множестве процедурных признаков F_p^{other} , для которых $F_C(f) \cap F_i \neq \emptyset$, $f \in F_p^{other}$, $i \in \{1, \dots, N\}$, то в итоге плане будут содержаться действия недоступные самому субъекту, но выполнимые другими участниками коллектива.

Таким образом, при составлении плана действий в коллективе происходит распределение ролей по тому, какие действия в общем плане могут быть выполнены каждым участником. Это возможно в том случае, когда у одного из членов коллектива имеется представление обо всех участниках и доступных им действиях.

На рис. 4 показана архитектура интеллектуального агента, который обладает знаковой картиной мира и способен к составлению плана поведения и распределению ролей в коалиции в описанном выше смысле.

Заключение. В настоящей работе рассмотрены механизмы формирования компонент знака, согласующиеся с современными представлениями нейрофизиологов о строении коры головного мозга человека. Подробно рассмотрен модельный или семантический уровень описания картины мира субъекта деятельности, даны определения компонент знака на этом уровне. Исследован алгоритм связывания двух компонент знака: образа и значения, доказана его сходимость. Описаны особенности процессов планирования в картинах мира разных типов, построен алгоритм синтеза плана поведения в житейской картине мира. Приведена архитектура интеллектуального агента, который обладает знаковой картиной мира и способен к составлению плана поведения и распределению ролей в коалиции.

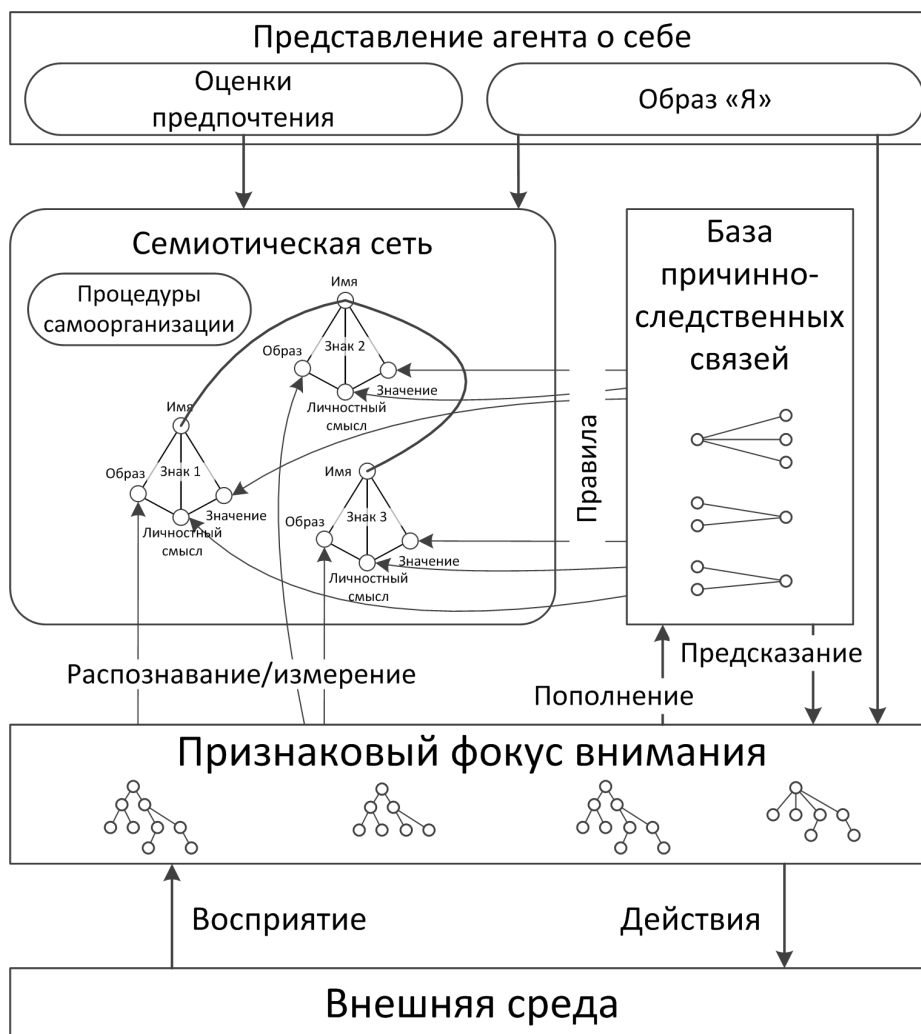


Рис. 4: Архитектура интеллектуального агента со знаковой картиной мира.

СПИСОК ЛИТЕРАТУРЫ

- Осипов Г. С., Панов А. И., Чудова Н. В. Управление поведением как функция сознания. I. Картина мира и целеполагание // Известия РАН. Теория и системы управления. — 2014. — № 4. — С. 83–96.
- Лурия А. Р. Мозг и психические процессы. Т. 2. — М. : Педагогика, 1970.
- Выготский Л. С. Психология развития человека. — М. : Издательство Смысл, 2005. — С. 1136.
- Леонтьев А. Н. Деятельность. Сознание. Личность. — М. : Политиздат, 1975.

5. Артемьева Е. Ю. Психология субъективной семантики. — М. : Издательство МГУ, 1980.
6. Эделмен Дж., Маунткэсл В. Разумный мозг. — М. : Мир, 1981.
7. Иваницкий А. М. Мозговая основа субъективных переживаний: гипотеза информационного синтеза // Журнал высшей нервной деятельности. — 1996. — Т. 46, № 2. — С. 241–282.
8. Иваницкий А. М. Наука о мозге на пути к решению проблемы сознания // Вестник РАН. — 2010. — Т. 80, № 5-6. — С. 447–455.
9. Психофизиология / Под ред. Ю. И. Александров. — 3-е изд. — Питер, 2007. — С. 464.
10. Mountcastle V. B. Perceptual Neuroscience. The Cerebral Cortex. — Cambridge : Harvard University Press, 1998. — P. 512.
11. Rockland K. S. Five points on columns. // Frontiers in neuroanatomy. — 2010. — Vol. 4. — P. 22.
12. Sequencing the connectome / A. M. Zador, J. Dubnau, H. K. Oyibo et al. // PLoS biology. — 2012. — Vol. 10, no. 10.
13. Нильсон Н. Принципы искусственного интеллекта. — М. : Радио и связь, 1985. — С. 376.
14. Norris Eugene M. Maximal Rectangular Relations // Fundamentals of Computation Theory / Ed. by Marek Karpinski. — Berlin : Springer, 1977. — P. 476–481.
15. George D., Hawkins J. Towards a Mathematical Theory of Cortical Micro-circuits // PLoS Computational Biology. — 2009. — Vol. 5, no. 10. — P. 1–26.
16. Koutnik J., Snorek M. Temporal Hebbian Self-Organizing Map for Sequences // Artificial Neural Networks - ICANN 2008. — Berlin : Springer, 2008. — P. 632–641.

17. Чудова Н. В. Концептуальное описание картины мира для задачи моделирования поведения, основанного на сознании // Искусственный интеллект и принятие решений. — 2012. — № 2. — С. 51–62.
18. Тихомиров О. К. Психология мышления. — М. : Издательство МГУ, 2002. — С. 288.
19. Fikes R. E., Nilsson N. J. STRIPS: a new approach to application of theorem proving to problem solving // Artificial Intelligence. — 1971. — no. 2. — P. 189–208.